

Ein und Ausgabe: Farbmatisches Drucker-Reflektiv-System ORS20_95, L*=20_95 für relativen CIELAB-Buntton $h^* = lab^*h^* = h_{ab}/360 = 0.087$ $u^*_d = o00y$

Daten für jede Farbe:

lab^*ch^* und lab^*icu^*

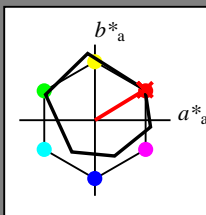
Bunttontexte:

$u^*_d = o00y$ $u^*_e = r09j$

Kontrastreduzierungsfaktor:

$c_R = 1.0$

Dreiecks-Helligkeit i^*



ORS20_95a; adaptierte CIELAB-Daten						
u^*_d	$L^*=L^*_a$	a^*_a	b^*_a	$C^*_{ab,a}$	$h^*_{ab,a}$	
O _{Ma}	46.89	66.19	40.28	77.48	31	
Y _{Ma}	88.66	-9.62	88.21	88.73	96	
L _{Ma}	54.22	-65.29	33.87	73.56	153	
C _{Ma}	61.43	-30.53	-42.04	51.96	234	
V _{Ma}	25.93	25.95	-47.37	54.01	299	
M _{Ma}	47.92	73.53	-9.02	74.08	353	
N _{Ma}	20.41	0.0	0.0	0.0	0	
W _{Ma}	94.64	0.0	0.0	0.0	0	
O _{Ma}	39.92	58.74	27.99	65.07	25	
Y _{Ma}	81.26	-2.89	71.56	71.62	92	
L _{Ma}	52.23	-42.42	13.6	44.55	162	
V _{Ma}	30.57	1.41	-46.47	46.49	272	

Daten für Maximalfarbe (Ma):

LAB^*LAB^*Ma : 47 66 40

LAB^*LCH^*Ma : 47 77 31

lab^*olv^*Ma : 1.0 0.0 0.0

lab^*rgb^*Ma : 1.0 0.09 0.0

Dreiecks-Helligkeit i^*

%Umfang

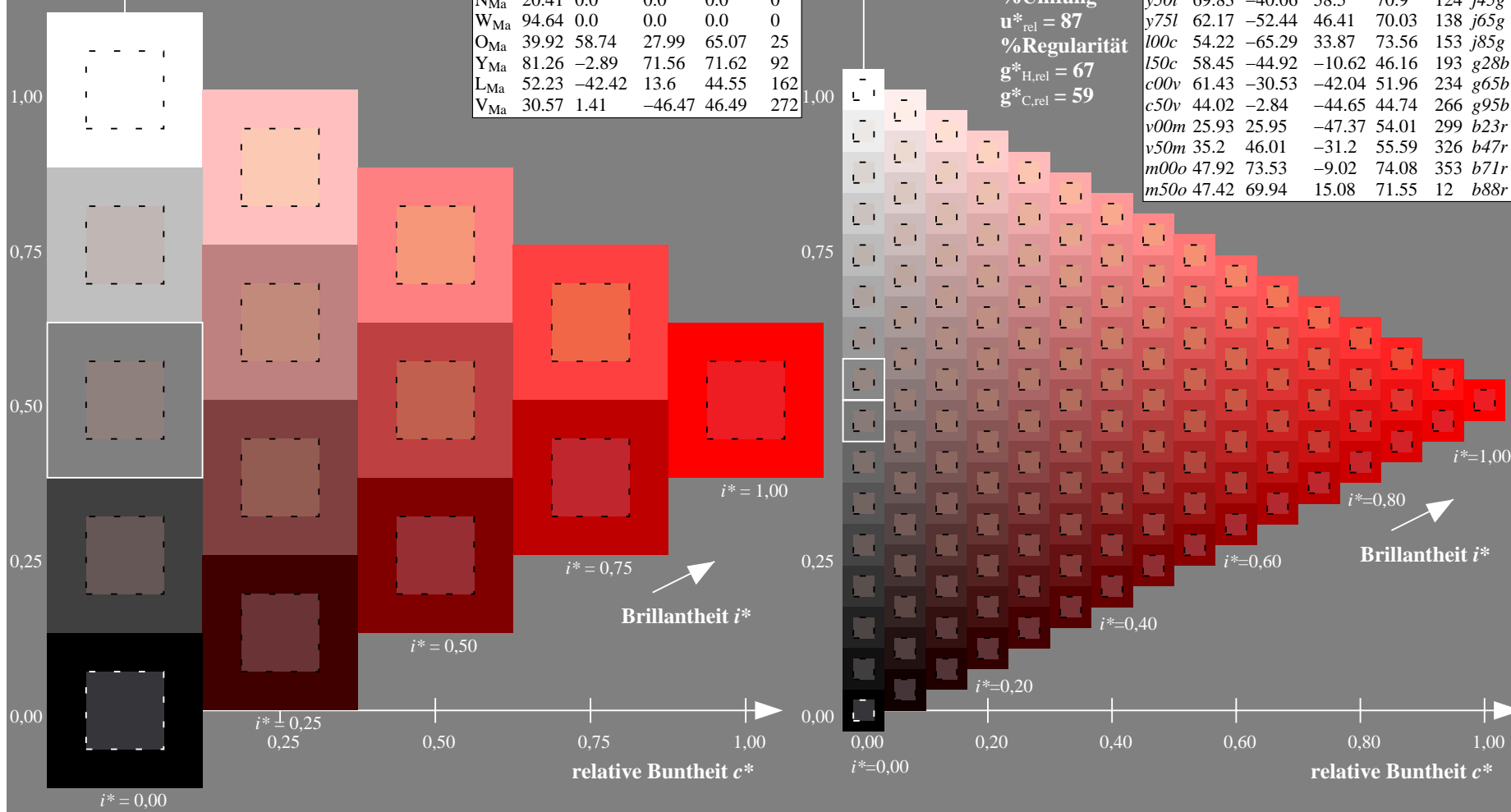
$u^*_{rel} = 87$

%Regularität

$g^*_{H,rel} = 67$

$g^*_{C,rel} = 59$

ORS20_95a; adaptierte CIELAB-Daten						
u^*_d	$L^*=L^*_a$	a^*_a	b^*_a	$C^*_{ab,a}$	$h^*_{ab,a}$	u^*_e
<i>o00y</i>	46.89	66.19	40.28	77.48	31	<i>r09j</i>
<i>o25y</i>	57.13	47.6	52.04	70.52	48	<i>r33j</i>
<i>o50y</i>	66.36	30.85	62.62	69.81	64	<i>r57j</i>
<i>o75y</i>	76.18	13.03	73.89	75.03	80	<i>r81j</i>
<i>y00l</i>	88.66	-9.62	88.21	88.73	96	<i>j06g</i>
<i>y25l</i>	78.19	-26.54	71.69	76.45	110	<i>j25g</i>
<i>y50l</i>	69.83	-40.06	58.5	70.9	124	<i>j45g</i>
<i>y75l</i>	62.17	-52.44	46.41	70.03	138	<i>j65g</i>
<i>l00c</i>	54.22	-65.29	33.87	73.56	153	<i>j85g</i>
<i>l50c</i>	58.45	-44.92	-10.62	46.16	193	<i>g28b</i>
<i>c00v</i>	61.43	-30.53	-42.04	51.96	234	<i>g65b</i>
<i>c50v</i>	44.02	-2.84	-44.65	44.74	266	<i>g95b</i>
<i>v00m</i>	25.93	25.95	-47.37	54.01	299	<i>b23r</i>
<i>v50m</i>	35.2	46.01	-31.2	55.59	326	<i>b47r</i>
<i>m00o</i>	47.92	73.53	-9.02	74.08	353	<i>b71r</i>
<i>m50o</i>	47.42	69.94	15.08	71.55	12	<i>b88r</i>



Ein und Ausgabe: Farbmimetrisches Drucker-Reflektiv-System ORS20_95, L*=20_95 für relativen CIELAB-Buntton $h^* = lab^*h^* = h_{ab}/360 = 0.087$ $u^*_d = o00y$

Daten für jede Farbe:

lab^*tch^* und lab^*icu^*

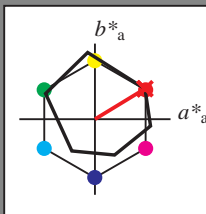
Bunttontexte:

$u^*_d = o00y$ $u^*_e = r09j$

Kontrastreduzierungsfaktor:

$c_R = 1.0$

Dreiecks-Helligkeit i^*



ORS20_95a; adaptierte CIELAB-Daten						
	u^*_d	$L^*=L^*_a$	a^*_a	b^*_a	$C^*_{ab,a}$	$h^*_{ab,a}$
O _{Ma}	46.89	66.19	40.28	77.48	31	
Y _{Ma}	88.66	-9.62	88.21	88.73	96	
L _{Ma}	54.22	-65.29	33.87	73.56	153	
C _{Ma}	61.43	-30.53	-42.04	51.96	234	
V _{Ma}	25.93	25.95	-47.37	54.01	299	
M _{Ma}	47.92	73.53	-9.02	74.08	353	
N _{Ma}	20.41	0.0	0.0	0.0	0	
W _{Ma}	94.64	0.0	0.0	0.0	0	
O _{Ma}	39.92	58.74	27.99	65.07	25	
Y _{Ma}	81.26	-2.89	71.56	71.62	92	
L _{Ma}	52.23	-42.42	13.6	44.55	162	
V _{Ma}	30.57	1.41	-46.47	46.49	272	

Daten für Maximalfarbe (Ma):

LAB^*LAB^*Ma : 47 66 40

LAB^*LCH^*Ma : 47 77 31

lab^*olv^*Ma : 1.0 0.0 0.0

lab^*rgb^*Ma : 1.0 0.09 0.0

Dreiecks-Helligkeit i^*

%Umfang

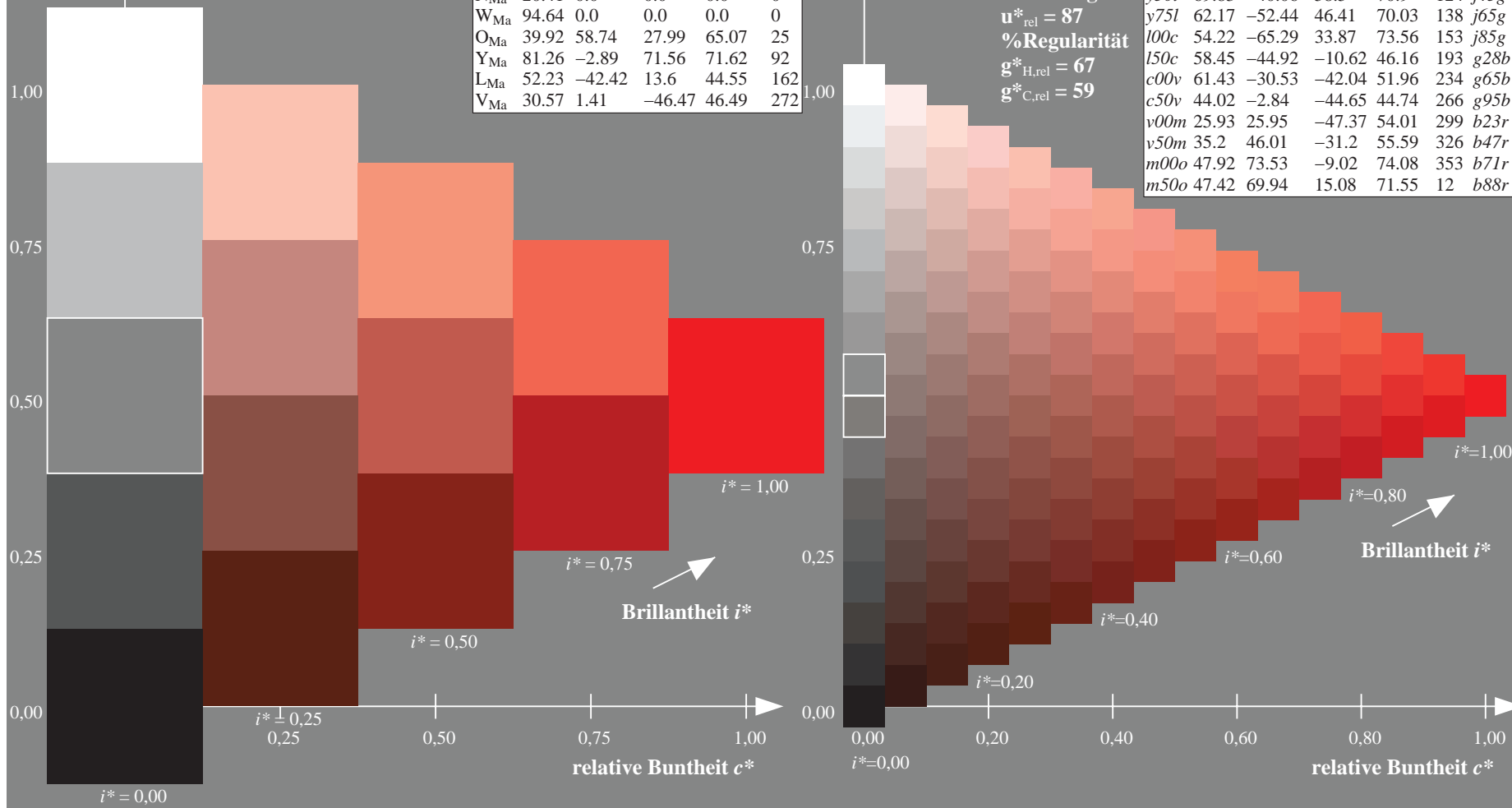
$u^*_{rel} = 87$

%Regularität

$g^*_{H,rel} = 67$

$g^*_{C,rel} = 59$

ORS20_95a; adaptierte CIELAB-Daten						
	u^*_d	$L^*=L^*_a$	a^*_a	b^*_a	$C^*_{ab,a}$	$h^*_{ab,a}$
$o00y$	46.89	66.19	40.28	77.48	31	$r09j$
$o25y$	57.13	47.6	52.04	70.52	48	$r33j$
$o50y$	66.36	30.85	62.62	69.81	64	$r57j$
$o75y$	76.18	13.03	73.89	75.03	80	$r81j$
$y00l$	88.66	-9.62	88.21	88.73	96	$j06g$
$y25l$	78.19	-26.54	71.69	76.45	110	$j25g$
$y50l$	69.83	-40.06	58.5	70.9	124	$j45g$
$y75l$	62.17	-52.44	46.41	70.03	138	$j65g$
$l00c$	54.22	-65.29	33.87	73.56	153	$j85g$
$l50c$	58.45	-44.92	-10.62	46.16	193	$g28b$
$c00v$	61.43	-30.53	-42.04	51.96	234	$g65b$
$c50v$	44.02	-2.84	-44.65	44.74	266	$g95b$
$v00m$	25.93	25.95	-47.37	54.01	299	$b23r$
$v50m$	35.2	46.01	-31.2	55.59	326	$b47r$
$m00o$	47.92	73.53	-9.02	74.08	353	$b71r$
$m50o$	47.42	69.94	15.08	71.55	12	$b88r$



Ein und Ausgabe: Farbmatisches Drucker-Reflektiv-System ORS20_95, L*=20_95 für relativen CIELAB-Buntton $h^* = lab^*h^* = h_{ab}/360 = 0.087$ $u^*_d = o00y$
Daten für jede Farbe: lab^*tch^* und lab^*icu^*

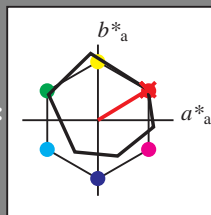
Bunttontexte:

$u^*_d = o00y$ $u^*_e = r09j$

Kontrastreduzierungsfaktor:

$c_R = 1.0$

Dreiecks-Helligkeit t^*



ORS20_95a; adaptierte CIELAB-Daten						
u^*_d	$L^*=L^*_a$	a^*_a	b^*_a	$C^*_{ab,a}$	$h^*_{ab,a}$	u^*_e
O _{Ma}	46.89	66.19	40.28	77.48	31	r09j
Y _{Ma}	88.66	-9.62	88.21	88.73	96	r33j
L _{Ma}	54.22	-65.29	33.87	73.56	153	r57j
C _{Ma}	61.43	-30.53	-42.04	51.96	234	r81j
V _{Ma}	25.93	25.95	-47.37	54.01	299	j06g
M _{Ma}	47.92	73.53	-9.02	74.08	353	j25g
N _{Ma}	20.41	0.0	0.0	0.0	0	j45g
W _{Ma}	94.64	0.0	0.0	0.0	0	j65g
O _{Ma}	39.92	58.74	27.99	65.07	25	j85g
Y _{Ma}	81.26	-2.89	71.56	71.62	92	g28b
L _{Ma}	52.23	-42.42	13.6	44.55	162	g65b
V _{Ma}	30.57	1.41	-46.47	46.49	272	g95b

Daten für Maximalfarbe (Ma):

$LAB^*LAB^*_{Ma}$: 47 66 40

$LAB^*LCH^*_{Ma}$: 47 77 31

$lab^*olv^*_{Ma}$: 1.0 0.0 0.0

$lab^*rgb^*_{Ma}$: 1.0 0.09 0.0

Dreiecks-Helligkeit t^*

%Umfang

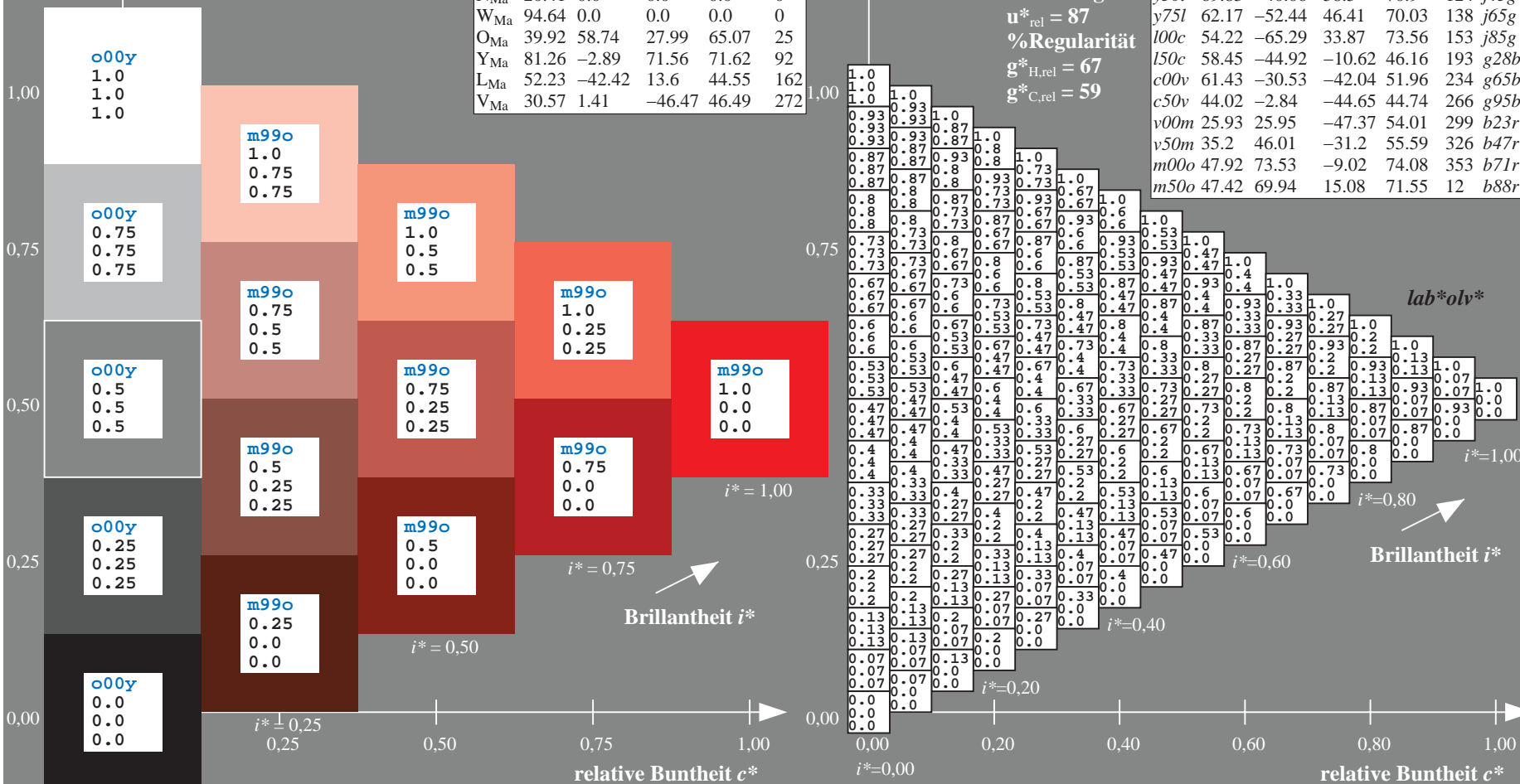
$u^*_{rel} = 87$

%Regularität

$g^*_{H,rel} = 67$

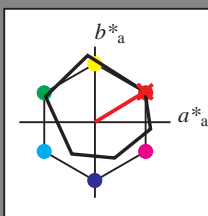
$g^*_{C,rel} = 59$

ORS20_95a; adaptierte CIELAB-Daten						
u^*_d	$L^*=L^*_a$	a^*_a	b^*_a	$C^*_{ab,a}$	$h^*_{ab,a}$	u^*_e
o00y	46.89	66.19	40.28	77.48	31	r09j
o25y	57.13	47.6	52.04	70.52	48	r33j
o50y	66.36	30.85	62.62	69.81	64	r57j
o75y	76.18	13.03	73.89	75.03	80	r81j
y00l	88.66	-9.62	88.21	88.73	96	j06g
y25l	78.19	-26.54	71.69	76.45	110	j25g
y50l	69.83	-40.06	58.5	70.9	124	j45g
y75l	62.17	-52.44	46.41	70.03	138	j65g
l00c	54.22	-65.29	33.87	73.56	153	j85g
l50c	58.45	-44.92	-10.62	46.16	193	g28b
c00v	61.43	-30.53	-42.04	51.96	234	g65b
c50v	44.02	-2.84	-44.65	44.74	266	g95b
v00m	25.93	25.95	-47.37	54.01	299	b23r
v50m	35.2	46.01	-31.2	55.59	326	b47r
m00o	47.92	73.53	-9.02	74.08	353	b71r
m50o	47.42	69.94	15.08	71.55	12	b88r



Ein und Ausgabe: Farbmimetrisches Drucker-Reflektiv-System ORS20_95, L*=20_95 für relativen CIELAB-Buntton $h^* = lab^*h^* = h_{ab}/360 = 0.087$ $u^*_d = o00y$
Daten für jede Farbe: lab^*tch^* und lab^*icu^*

Bunttontexte:
 $u^*_d = o00y$ $u^*_e = r09j$
Kontrastreduzierungsfaktor:
 $c_R = 1.0$
Dreiecks-Helligkeit i^*



ORS20_95a; adaptierte CIELAB-Daten						
u^*_d	$L^*=L^*_a$	a^*_a	b^*_a	$C^*_{ab,a}$	$h^*_{ab,a}$	
O _{Ma}	46.89	66.19	40.28	77.48	31	
Y _{Ma}	88.66	-9.62	88.21	88.73	96	
L _{Ma}	54.22	-65.29	33.87	73.56	153	
C _{Ma}	61.43	-30.53	-42.04	51.96	234	
V _{Ma}	25.93	25.95	-47.37	54.01	299	
M _{Ma}	47.92	73.53	-9.02	74.08	353	
N _{Ma}	20.41	0.0	0.0	0.0	0	
W _{Ma}	94.64	0.0	0.0	0.0	0	
O _{Ma}	39.92	58.74	27.99	65.07	25	
Y _{Ma}	81.26	-2.89	71.56	71.62	92	
L _{Ma}	52.23	-42.42	13.6	44.55	162	
V _{Ma}	30.57	1.41	-46.47	46.49	272	

Daten für Maximalfarbe (Ma):

$LAB^*LAB^*_{Ma}$: 47 66 40

$LAB^*LCH^*_{Ma}$: 47 77 31

$lab^*olv^*_{Ma}$: 1.0 0.0 0.0

$lab^*rgb^*_{Ma}$: 1.0 0.09 0.0

Dreiecks-Helligkeit i^*

%Umfang

$u^*_{rel} = 87$

%Regularität

$g^*_{H,rel} = 67$

$g^*_{C,rel} = 59$

ORS20_95a; adaptierte CIELAB-Daten						
u^*_d	$L^*=L^*_a$	a^*_a	b^*_a	$C^*_{ab,a}$	$h^*_{ab,a}$	u^*_e
$o00y$	46.89	66.19	40.28	77.48	31	$r09j$
$o25y$	57.13	47.6	52.04	70.52	48	$r33j$
$o50y$	66.36	30.85	62.62	69.81	64	$r57j$
$o75y$	76.18	13.03	73.89	75.03	80	$r81j$
$y00l$	88.66	-9.62	88.21	88.73	96	$j06g$
$y25l$	78.19	-26.54	71.69	76.45	110	$j25g$
$y50l$	69.83	-40.06	58.5	70.9	124	$j45g$
$y75l$	62.17	-52.44	46.41	70.03	138	$j65g$
$l00c$	54.22	-65.29	33.87	73.56	153	$j85g$
$l50c$	58.45	-44.92	-10.62	46.16	193	$g28b$
$c00v$	61.43	-30.53	-42.04	51.96	234	$g65b$
$c50v$	44.02	-2.84	-44.65	44.74	266	$g95b$
$v00m$	25.93	25.95	-47.37	54.01	299	$b23r$
$v50m$	35.2	46.01	-31.2	55.59	326	$b47r$
$m00o$	47.92	73.53	-9.02	74.08	353	$b71r$
$m50o$	47.42	69.94	15.08	71.55	12	$b88r$

lab^*rgb^*						
$i^* = 1.00$	1.0	0.09	0.0			
$i^* = 0.80$	0.93	0.08	0.0			
$i^* = 0.60$	0.87	0.07	0.0			
$i^* = 0.40$	0.81	0.06	0.0			
$i^* = 0.20$	0.75	0.05	0.0			
$i^* = 0.00$	0.69	0.04	0.0			

Ein und Ausgabe: Farbmimetrisches Drucker-Reflektiv-System ORS20_95, L*=20_95 für relativen CIELAB-Buntton $h^* = lab^*h^* = h_{ab}/360 = 0.087$ $u^*_d = o00y$

Daten für jede Farbe:

lab^*tch^* und lab^*icu^*

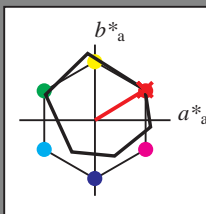
Bunttontexte:

$u^*_d = o00y$ $u^*_e = r09j$

Kontrastreduzierungsfaktor:

$c_R = 1.0$

Dreiecks-Helligkeit i^*



ORS20_95a; adaptierte CIELAB-Daten						
u^*_d	$L^*=L^*_a$	a^*_a	b^*_a	$C^*_{ab,a}$	$h^*_{ab,a}$	
O _{Ma}	46.89	66.19	40.28	77.48	31	
Y _{Ma}	88.66	-9.62	88.21	88.73	96	
L _{Ma}	54.22	-65.29	33.87	73.56	153	
C _{Ma}	61.43	-30.53	-42.04	51.96	234	
V _{Ma}	25.93	25.95	-47.37	54.01	299	
M _{Ma}	47.92	73.53	-9.02	74.08	353	
N _{Ma}	20.41	0.0	0.0	0.0	0	
W _{Ma}	94.64	0.0	0.0	0.0	0	
O _{Ma}	39.92	58.74	27.99	65.07	25	
Y _{Ma}	81.26	-2.89	71.56	71.62	92	
L _{Ma}	52.23	-42.42	13.6	44.55	162	
V _{Ma}	30.57	1.41	-46.47	46.49	272	

Daten für Maximalfarbe (Ma):

$LAB^*LAB^*_Ma$: 47 66 40

$LAB^*LCH^*_Ma$: 47 77 31

$lab^*olv^*_Ma$: 1.0 0.0 0.0

$lab^*rgb^*_Ma$: 1.0 0.09 0.0

Dreiecks-Helligkeit i^*

%Umfang

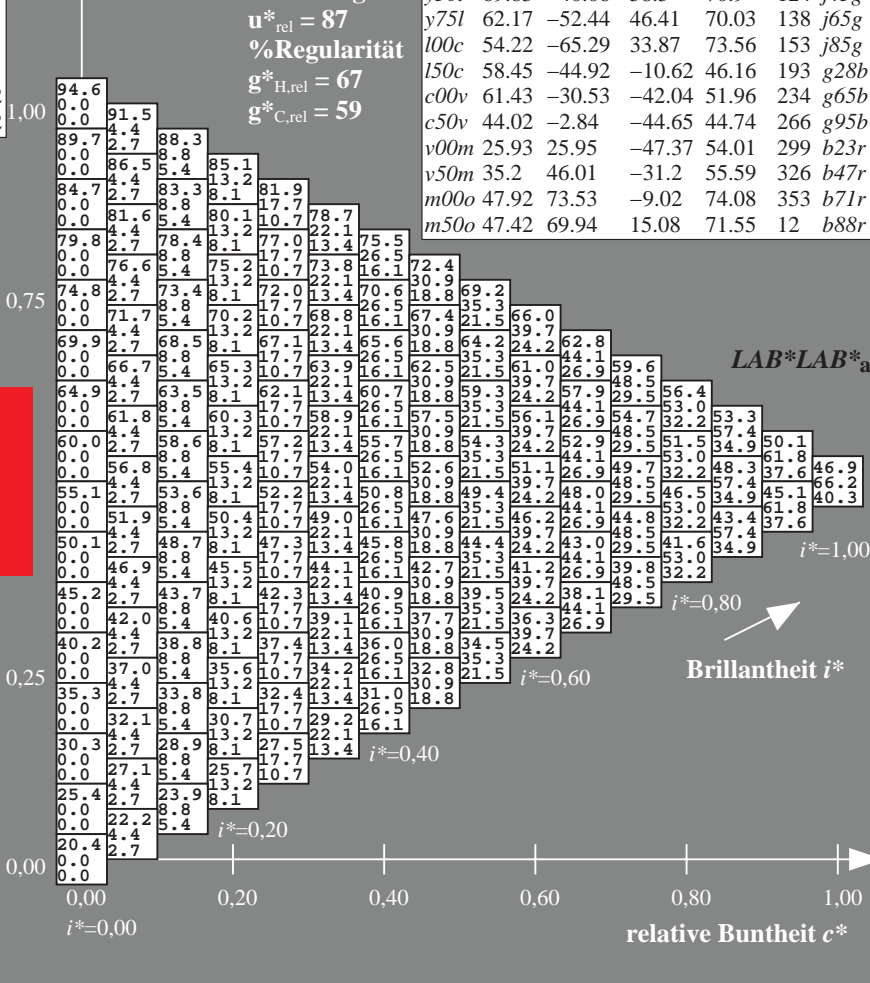
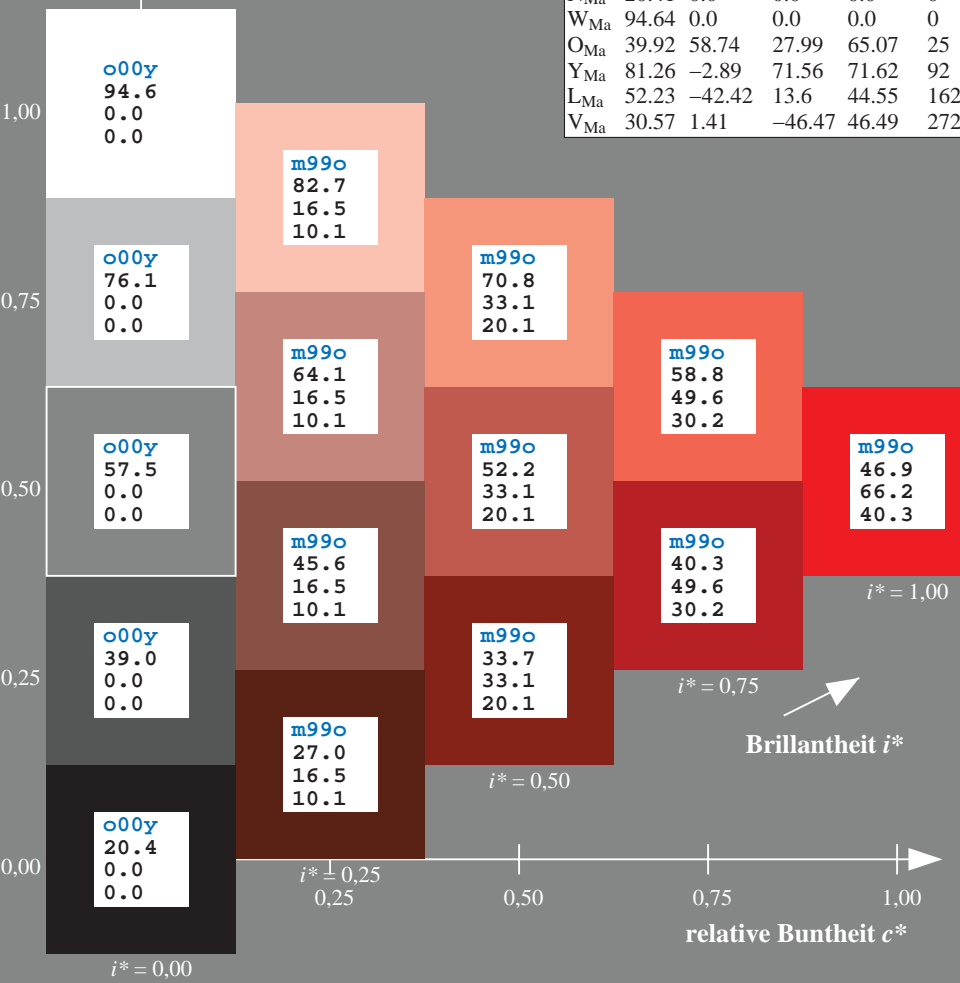
$u^*_{rel} = 87$

%Regularität

$g^*_{H,rel} = 67$

$g^*_{C,rel} = 59$

ORS20_95a; adaptierte CIELAB-Daten						
u^*_d	$L^*=L^*_a$	a^*_a	b^*_a	$C^*_{ab,a}$	$h^*_{ab,a}$	u^*_e
<i>o00y</i>	46.89	66.19	40.28	77.48	31	<i>r09j</i>
<i>o25y</i>	57.13	47.6	52.04	70.52	48	<i>r33j</i>
<i>o50y</i>	66.36	30.85	62.62	69.81	64	<i>r57j</i>
<i>o75y</i>	76.18	13.03	73.89	75.03	80	<i>r81j</i>
<i>y00l</i>	88.66	-9.62	88.21	88.73	96	<i>j06g</i>
<i>y25l</i>	78.19	-26.54	71.69	76.45	110	<i>j25g</i>
<i>y50l</i>	69.83	-40.06	58.5	70.9	124	<i>j45g</i>
<i>y75l</i>	62.17	-52.44	46.41	70.03	138	<i>j65g</i>
<i>l00c</i>	54.22	-65.29	33.87	73.56	153	<i>j85g</i>
<i>l50c</i>	58.45	-44.92	-10.62	46.16	193	<i>g28b</i>
<i>c00v</i>	61.43	-30.53	-42.04	51.96	234	<i>g65b</i>
<i>c50v</i>	44.02	-2.89	-44.65	44.74	266	<i>g95b</i>
<i>v00m</i>	25.93	25.95	-47.37	54.01	299	<i>b23r</i>
<i>v50m</i>	35.2	46.01	-31.2	55.59	326	<i>b47r</i>
<i>m00o</i>	47.92	73.53	-9.02	74.08	353	<i>b71r</i>
<i>m50o</i>	47.42	69.94	15.08	71.55	12	<i>b88r</i>



Ein und Ausgabe: Farbmetrisches Drucker-Reflektiv-System ORS20_95, L*=20_95 für relativen CIELAB-Buntton $h^* = lab^*h^* = h_{ab}/360 = 0.087$ $u^*_d = o00y$ $LAB^*LCH^*_a$

Daten für jede Farbe:

lab^*ch^* und lab^*icu^*

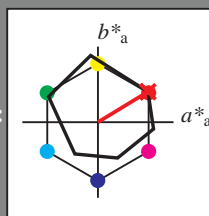
Bunttontexte:

$u^*_d = o00y$ $u^*_e = r09j$

Kontrastreduzierungsfaktor:

$c_R = 1.0$

Dreiecks-Helligkeit i^*



ORS20_95a; adaptierte CIELAB-Daten

u^*_d	$L^*=L^*_a$	a^*_a	b^*_a	$C^*_{ab,a}$	$h^*_{ab,a}$
O _{Ma}	46.89	66.19	40.28	77.48	31
Y _{Ma}	88.66	-9.62	88.21	88.73	96
L _{Ma}	54.22	-65.29	33.87	73.56	153
C _{Ma}	61.43	-30.53	-42.04	51.96	234
V _{Ma}	25.93	25.95	-47.37	54.01	299
M _{Ma}	47.92	73.53	-9.02	74.08	353
N _{Ma}	20.41	0.0	0.0	0.0	0
W _{Ma}	94.64	0.0	0.0	0.0	0
O _{Ma}	39.92	58.74	27.99	65.07	25
Y _{Ma}	81.26	-2.89	71.56	71.62	92
L _{Ma}	52.23	-42.42	13.6	44.55	162
V _{Ma}	30.57	1.41	-46.47	46.49	272

Daten für Maximalfarbe (Ma):

$LAB^*LAB^*_Ma$: 47 66 40

$LAB^*LCH^*_Ma$: 47 77 31

$lab^*olv^*_Ma$: 1.0 0.0 0.0

$lab^*rgb^*_Ma$: 1.0 0.09 0.0

Dreiecks-Helligkeit i^*

%Umfang

$u^*_{rel} = 87$

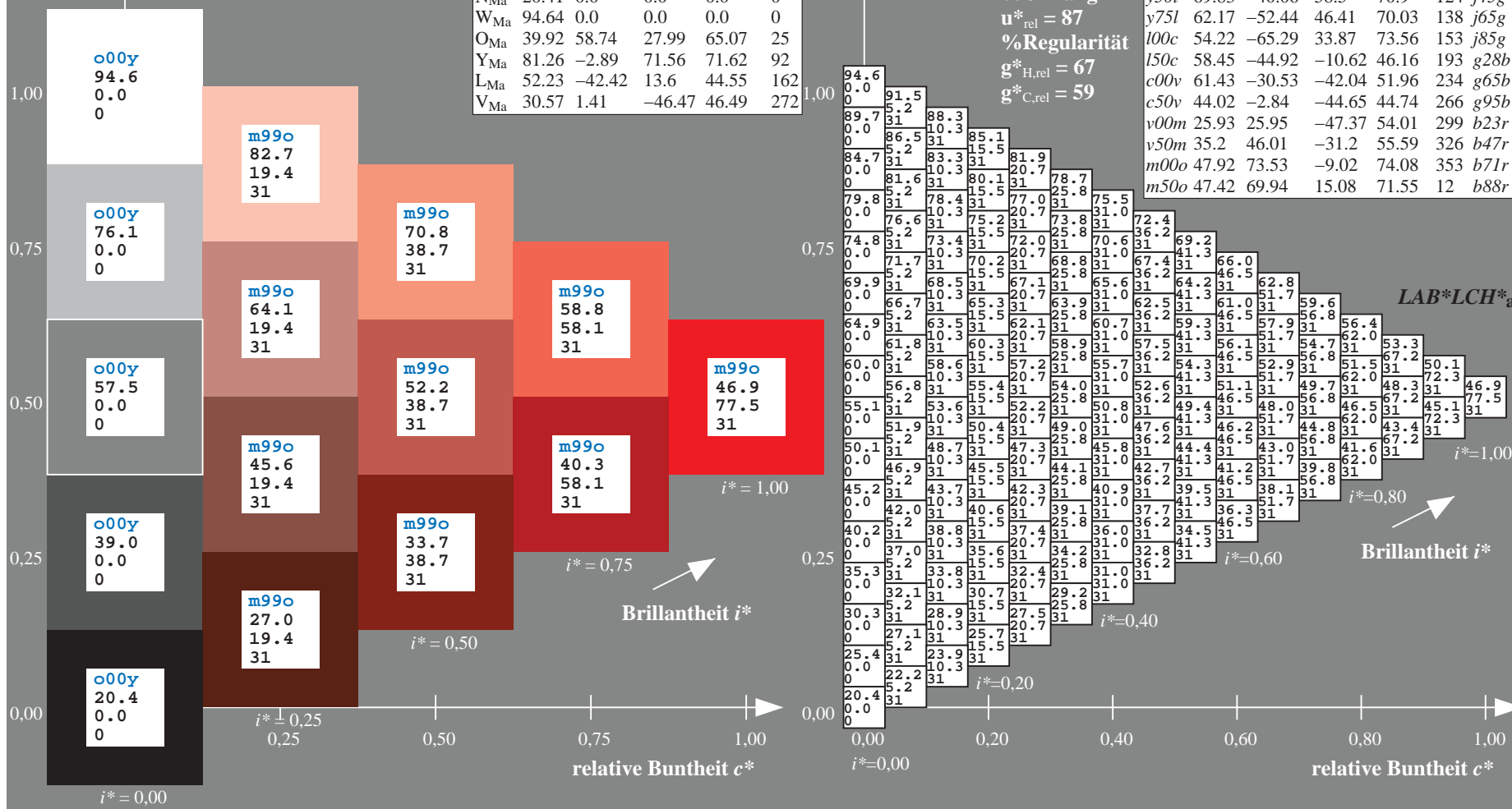
%Regularität

$g^*_{H,rel} = 67$

$g^*_{C,rel} = 59$

ORS20_95a; adaptierte CIELAB-Daten

u^*_d	$L^*=L^*_a$	a^*_a	b^*_a	$C^*_{ab,a}$	$h^*_{ab,a}$	u^*_e
$o00y$	46.89	66.19	40.28	77.48	31	$r09j$
$o25y$	57.13	47.6	52.04	70.52	48	$r33j$
$o50y$	66.36	30.85	62.62	69.81	64	$r57j$
$o75y$	76.18	13.03	73.89	75.03	80	$r81j$
$y00l$	88.66	-9.62	88.21	88.73	96	$j06g$
$y25l$	78.19	-26.54	71.69	76.45	110	$j25g$
$y50l$	69.83	-40.06	58.5	70.9	124	$j45g$
$y75l$	62.17	-52.44	46.41	70.03	138	$j65g$
$l00c$	54.22	-65.29	33.87	73.56	153	$j85g$
$l50c$	58.45	-44.92	-10.62	46.16	193	$g28b$
$c00v$	61.43	-30.53	-42.04	51.96	234	$g65b$
$c50v$	44.02	-2.84	-44.65	44.74	266	$g95b$
$v00m$	25.93	25.95	-47.37	54.01	299	$b23r$
$v50m$	35.2	46.01	-31.2	55.59	326	$b47r$
$m00o$	47.92	73.53	-9.02	74.08	353	$b71r$
$m50o$	47.42	69.94	15.08	71.55	12	$b88r$

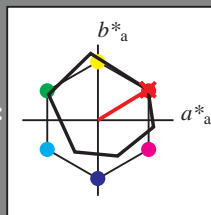


Ein und Ausgabe: Farbmimetrisches Drucker-Reflektiv-System ORS20_95, L*=20_95 für relativen CIELAB-Buntton $h^* = lab^*h^* = h_{ab}/360 = 0.087$ $u^*_d = o00y$
Daten für jede Farbe:
 lab^*tch^* und lab^*icu^*

Bunttontexte:
 $u^*_d = o00y$ $u^*_e = r09j$

Kontrastreduzierungsfaktor:
 $c_R = 1.0$

Dreiecks-Helligkeit t^*



ORS20_95a; adaptierte CIELAB-Daten						
u^*_d	$L^*=L^*_a$	a^*_a	b^*_a	$C^*_{ab,a}$	$h^*_{ab,a}$	u^*_e
O _{Ma}	46.89	66.19	40.28	77.48	31	r09j
Y _{Ma}	88.66	-9.62	88.21	88.73	96	r33j
L _{Ma}	54.22	-65.29	33.87	73.56	153	r57j
C _{Ma}	61.43	-30.53	-42.04	51.96	234	r81j
V _{Ma}	25.93	25.95	-47.37	54.01	299	j06g
M _{Ma}	47.92	73.53	-9.02	74.08	353	j25g
N _{Ma}	20.41	0.0	0.0	0.0	0	j45g
W _{Ma}	94.64	0.0	0.0	0.0	0	j65g
O _{Ma}	39.92	58.74	27.99	65.07	25	j85g
Y _{Ma}	81.26	-2.89	71.56	71.62	92	g28b
L _{Ma}	52.23	-42.42	13.6	44.55	162	g65b
V _{Ma}	30.57	1.41	-46.47	46.49	272	g95b

Daten für Maximalfarbe (Ma):

$LAB^*LAB^*_{Ma}$: 47 66 40

$LAB^*LCH^*_{Ma}$: 47 77 31

$lab^*olv^*_{Ma}$: 1.0 0.0 0.0

$lab^*rgb^*_{Ma}$: 1.0 0.09 0.0

Dreiecks-Helligkeit t^*

%Umfang

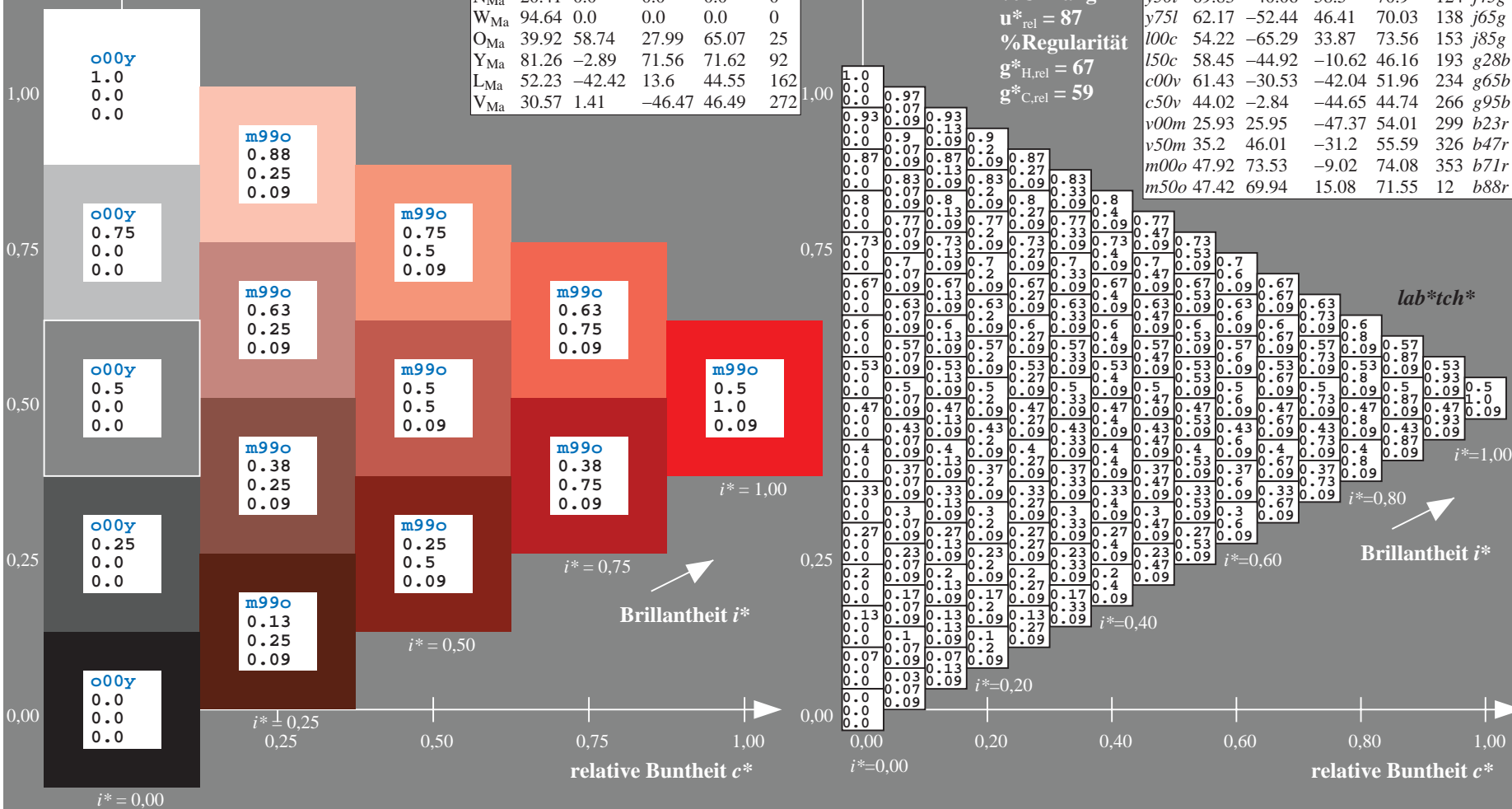
$u^*_{rel} = 87$

%Regularität

$g^*_{H,rel} = 67$

$g^*_{C,rel} = 59$

ORS20_95a; adaptierte CIELAB-Daten						
u^*_d	$L^*=L^*_a$	a^*_a	b^*_a	$C^*_{ab,a}$	$h^*_{ab,a}$	u^*_e
o00y	46.89	66.19	40.28	77.48	31	r09j
o25y	57.13	47.6	52.04	70.52	48	r33j
o50y	66.36	30.85	62.62	69.81	64	r57j
o75y	76.18	13.03	73.89	75.03	80	r81j
y00l	88.66	-9.62	88.21	88.73	96	j06g
y25l	78.19	-26.54	71.69	76.45	110	j25g
y50l	69.83	-40.06	58.5	70.9	124	j45g
y75l	62.17	-52.44	46.41	70.03	138	j65g
l00c	54.22	-65.29	33.87	73.56	153	j85g
l50c	58.45	-44.92	-10.62	46.16	193	g28b
c00v	61.43	-30.53	-42.04	51.96	234	g65b
c50v	44.02	-2.84	-44.65	44.74	266	g95b
v00m	25.93	25.95	-47.37	54.01	299	b23r
v50m	35.2	46.01	-31.2	55.59	326	b47r
m00o	47.92	73.53	-9.02	74.08	353	b71r
m50o	47.42	69.94	15.08	71.55	12	b88r

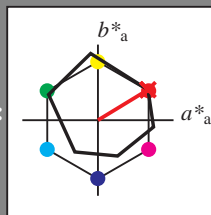


Ein und Ausgabe: Farbmimetrisches Drucker-Reflektiv-System ORS20_95, L*=20_95 für relativen CIELAB-Buntton $h^* = lab^*h^* = h_{ab}/360 = 0.087$ $u^*_d = o00y$
Daten für jede Farbe:
 lab^*ch^* und lab^*icu^*

Bunttontexte:
 $u^*_d = o00y$ $u^*_e = r09j$

Kontrastreduzierungsfaktor:
 $c_R = 1.0$

Dreiecks-Helligkeit t^*



ORS20_95a; adaptierte CIELAB-Daten

u^*_d	$L^*=L^*_a$	a^*_a	b^*_a	$C^*_{ab,a}$	$h^*_{ab,a}$
O _{Ma}	46.89	66.19	40.28	77.48	31
Y _{Ma}	88.66	-9.62	88.21	88.73	96
L _{Ma}	54.22	-65.29	33.87	73.56	153
C _{Ma}	61.43	-30.53	-42.04	51.96	234
V _{Ma}	25.93	25.95	-47.37	54.01	299
M _{Ma}	47.92	73.53	-9.02	74.08	353
N _{Ma}	20.41	0.0	0.0	0.0	0
W _{Ma}	94.64	0.0	0.0	0.0	0
O _{Ma}	39.92	58.74	27.99	65.07	25
Y _{Ma}	81.26	-2.89	71.56	71.62	92
L _{Ma}	52.23	-42.42	13.6	44.55	162
V _{Ma}	30.57	1.41	-46.47	46.49	272

Daten für Maximalfarbe (Ma):

$LAB^*LAB^*_{Ma}$: 47 66 40

$LAB^*LCH^*_{Ma}$: 47 77 31

$lab^*olv^*_{Ma}$: 1.0 0.0 0.0

$lab^*rgb^*_{Ma}$: 1.0 0.09 0.0

Dreiecks-Helligkeit t^*

%Umfang

$u^*_{rel} = 87$

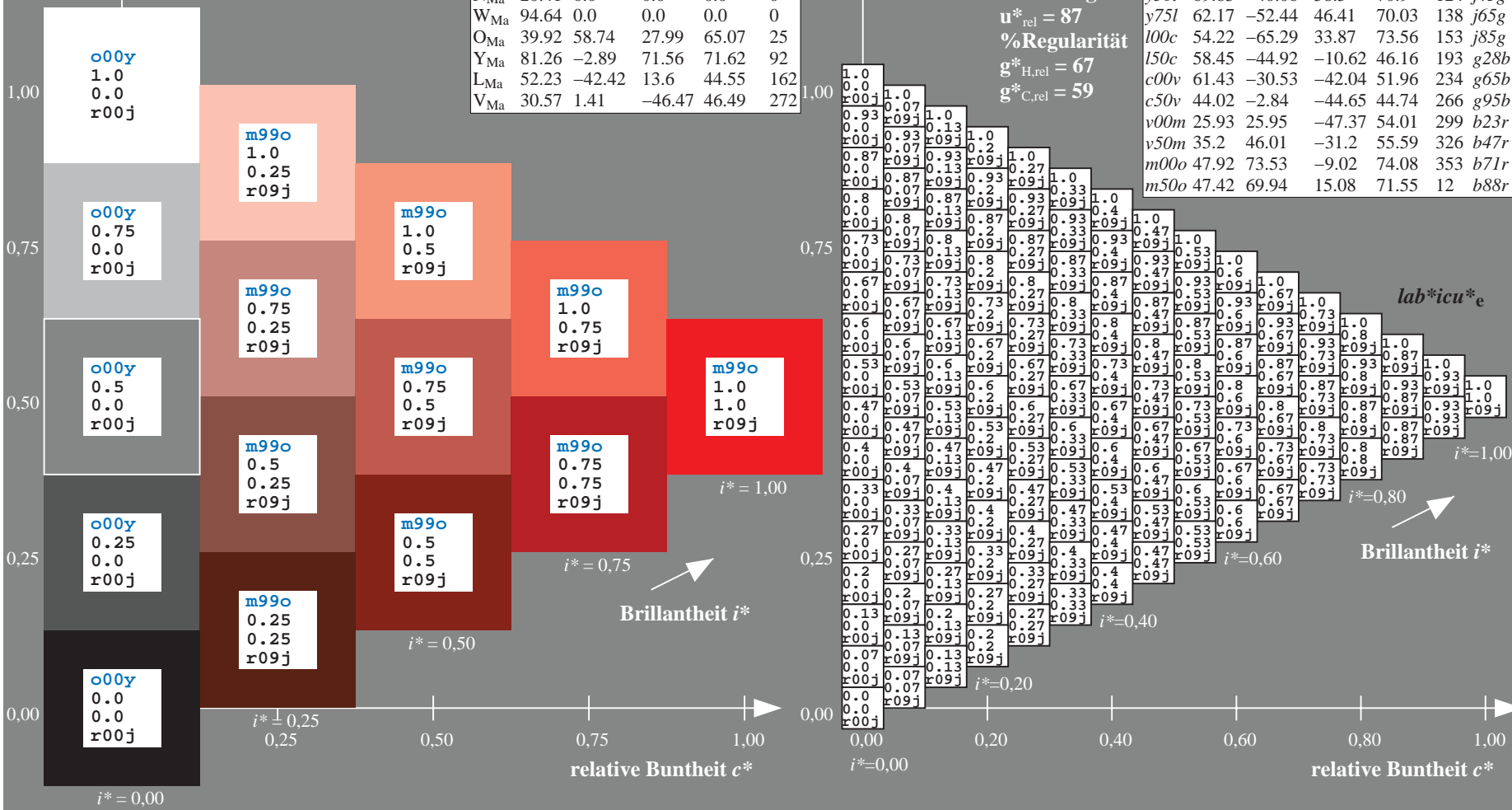
%Regularität

$g^*_{H,rel} = 67$

$g^*_{C,rel} = 59$

ORS20_95a; adaptierte CIELAB-Daten

u^*_d	$L^*=L^*_a$	a^*_a	b^*_a	$C^*_{ab,a}$	$h^*_{ab,a}$	u^*_e
$o00y$	46.89	66.19	40.28	77.48	31	$r09j$
$o25y$	57.13	47.6	52.04	70.52	48	$r33j$
$o50y$	66.36	30.85	62.62	69.81	64	$r57j$
$o75y$	76.18	13.03	73.89	75.03	80	$r81j$
$y00l$	88.66	-9.62	88.21	88.73	96	$j06g$
$y25l$	78.19	-26.54	71.69	76.45	110	$j25g$
$y50l$	69.83	-40.06	58.5	70.9	124	$j45g$
$y75l$	62.17	-52.44	46.41	70.03	138	$j65g$
$l00c$	54.22	-65.29	33.87	73.56	153	$j85g$
$l50c$	58.45	-44.92	-10.62	46.16	193	$g28b$
$c00v$	61.43	-30.53	-42.04	51.96	234	$g65b$
$c50v$	44.02	-2.84	-44.65	44.74	266	$g95b$
$v00m$	25.93	25.95	-47.37	54.01	299	$b23r$
$v50m$	35.2	46.01	-31.2	55.59	326	$b47r$
$m00o$	47.92	73.53	-9.02	74.08	353	$b71r$
$m50o$	47.42	69.94	15.08	71.55	12	$b88r$



Ein und Ausgabe: Farbmimetrisches Drucker-Reflektiv-System ORS20_95, L*=20_95 für relativen CIELAB-Buntton $h^* = lab^*h^* = h_{ab}/360 = 0.087$ $u^*_d = o00y$

Daten für jede Farbe:

lab^*ch^* und lab^*icu^*

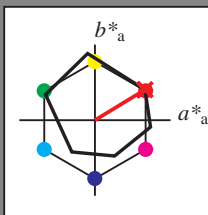
Bunttontexte:

$u^*_d = o00y$ $u^*_e = r09j$

Kontrastreduzierungsfaktor:

$c_R = 1.0$

Dreiecks-Helligkeit i^*



ORS20_95; CIELAB-Daten						
u^*_d	$L^*=L^*$	a^*	b^*	C^*_{ab}	h^*_{ab}	
O _M	46.89	66.08	41.48	78.02	32	
Y _M	88.66	-10.34	90.28	90.87	97	
L _M	54.22	-65.51	35.22	74.38	152	
C _M	61.43	-30.85	-40.54	50.94	233	
V _M	25.93	26.15	-46.61	53.44	299	
M _M	47.92	73.41	-7.8	73.82	354	
N _M	20.41	0.28	0.64	0.7	66	
W _M	94.64	-0.81	2.2	2.34	110	
O _M	39.92	58.74	27.99	65.07	25	
Y _M	81.26	-2.89	71.56	71.62	92	
L _M	52.23	-42.42	13.6	44.55	162	
V _M	30.57	1.41	-46.47	46.49	272	

Daten für Maximalfarbe (Ma):

LAB^*LAB^*Ma : 47 66 40

LAB^*LCH^*Ma : 47 77 31

lab^*olv^*Ma : 1.0 0.0 0.0

lab^*rgb^*Ma : 1.0 0.09 0.0

Dreiecks-Helligkeit i^*

%Umfang

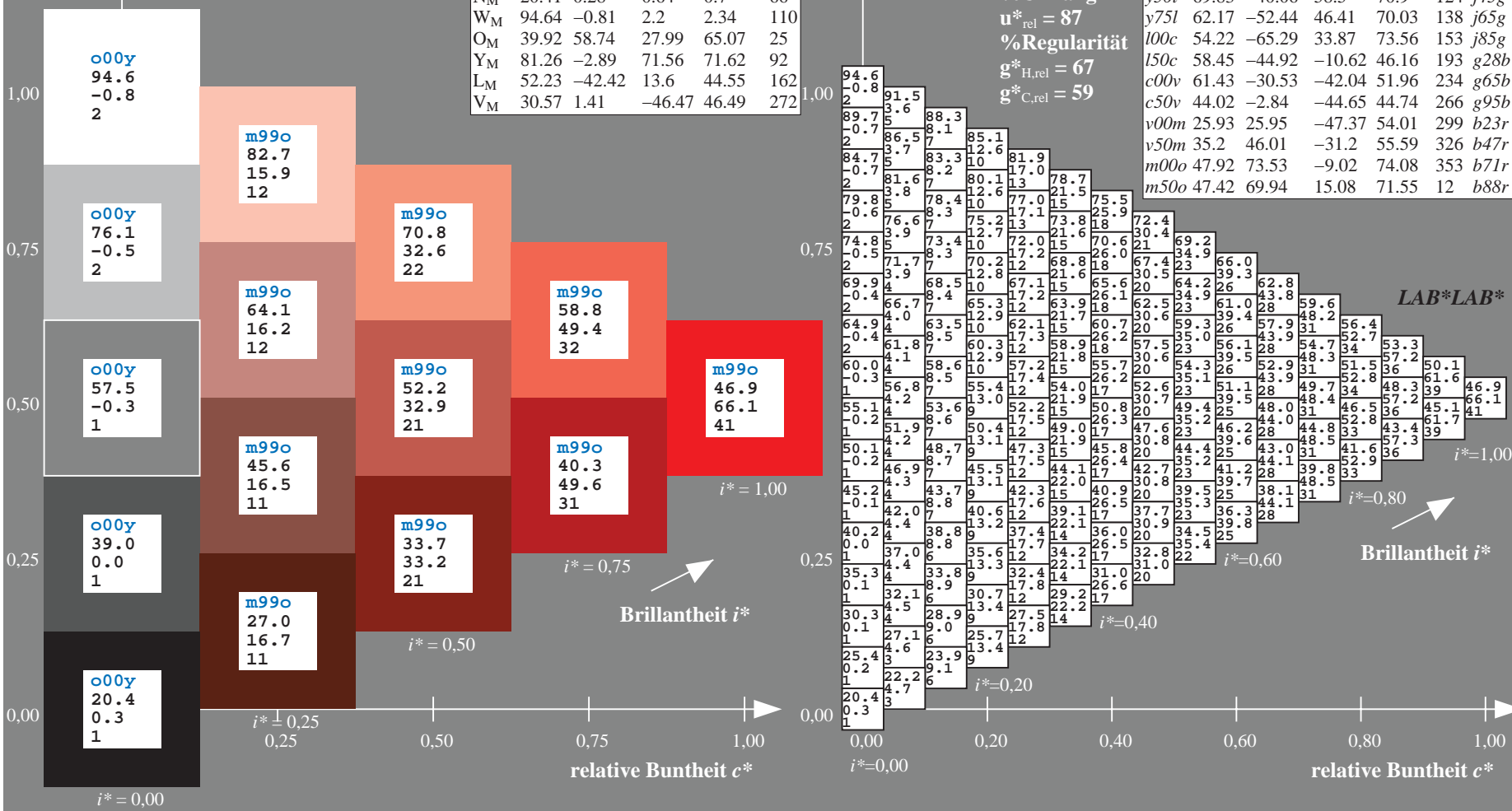
$u^*_{rel} = 87$

%Regularität

$g^*_{H,rel} = 67$

$g^*_{C,rel} = 59$

ORS20_95a; adaptierte CIELAB-Daten									
u^*_d	$L^*=L^*$	a^*	b^*	$C^*_{ab,a}$	$h^*_{ab,a}$	u^*_e			
<i>o00y</i>	46.89	66.19	40.28	77.48	31	<i>r09j</i>			
<i>o25y</i>	57.13	47.6	52.04	70.52	48	<i>r33j</i>			
<i>o50y</i>	66.36	30.85	62.62	69.81	64	<i>r57j</i>			
<i>o75y</i>	76.18	13.03	73.89	75.03	80	<i>r81j</i>			
<i>y00l</i>	88.66	-9.62	88.21	88.73	96	<i>j06g</i>			
<i>y25l</i>	78.19	-26.54	71.69	76.45	110	<i>j25g</i>			
<i>y50l</i>	69.83	-40.06	58.5	70.9	124	<i>j45g</i>			
<i>y75l</i>	62.17	-52.44	46.41	70.03	138	<i>j65g</i>			
<i>l00c</i>	54.22	-65.29	33.87	73.56	153	<i>j85g</i>			
<i>l50c</i>	58.45	-44.92	-10.62	46.16	193	<i>g28b</i>			
<i>c00v</i>	61.43	-30.53	-42.04	51.96	234	<i>g65b</i>			
<i>c50v</i>	44.02	-2.84	-44.65	44.74	266	<i>g95b</i>			
<i>v00m</i>	25.93	25.95	-47.37	54.01	299	<i>b23r</i>			
<i>v50m</i>	35.2	46.01	-31.2	55.59	326	<i>b47r</i>			
<i>m00o</i>	47.92	73.53	-9.02	74.08	353	<i>b71r</i>			
<i>m50o</i>	47.42	69.94	15.08	71.55	12	<i>b88r</i>			



Ein und Ausgabe: Farbmatisches Drucker-Reflektiv-System ORS20_95, L*=20_95 für relativen CIELAB-Buntton $h^* = lab^*h^* = h_{ab}/360 = 0.087$ $u^*_d = o00y$
Daten für jede Farbe:
 lab^*ch^* und lab^*icu^*

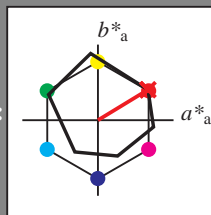
Bunttontexte:

$u^*_d = o00y$ $u^*_e = r09j$

Kontrastreduzierungsfaktor:

$c_R = 1.0$

Dreiecks-Helligkeit i^*



ORS20_95a; CIELAB-Daten						
u^*_d	$L^*=L^*$	a^*	b^*	C^*_{ab}	h^*_{ab}	
O _M	46.89	66.08	41.48	78.02	32	
Y _M	88.66	-10.34	90.28	90.87	97	
L _M	54.22	-65.51	35.22	74.38	152	
C _M	61.43	-30.85	-40.54	50.94	233	
V _M	25.93	26.15	-46.61	53.44	299	
M _M	47.92	73.41	-7.8	73.82	354	
N _M	20.41	0.28	0.64	0.7	66	
W _M	94.64	-0.81	2.2	2.34	110	
O _M	39.92	58.74	27.99	65.07	25	
Y _M	81.26	-2.89	71.56	71.62	92	
L _M	52.23	-42.42	13.6	44.55	162	
V _M	30.57	1.41	-46.47	46.49	272	

Daten für Maximalfarbe (Ma):

LAB^*LAB^*Ma : 47 66 40

LAB^*LCH^*Ma : 47 77 31

lab^*olv^*Ma : 1.0 0.0 0.0

lab^*rgb^*Ma : 1.0 0.09 0.0

Dreiecks-Helligkeit i^*

%Umfang

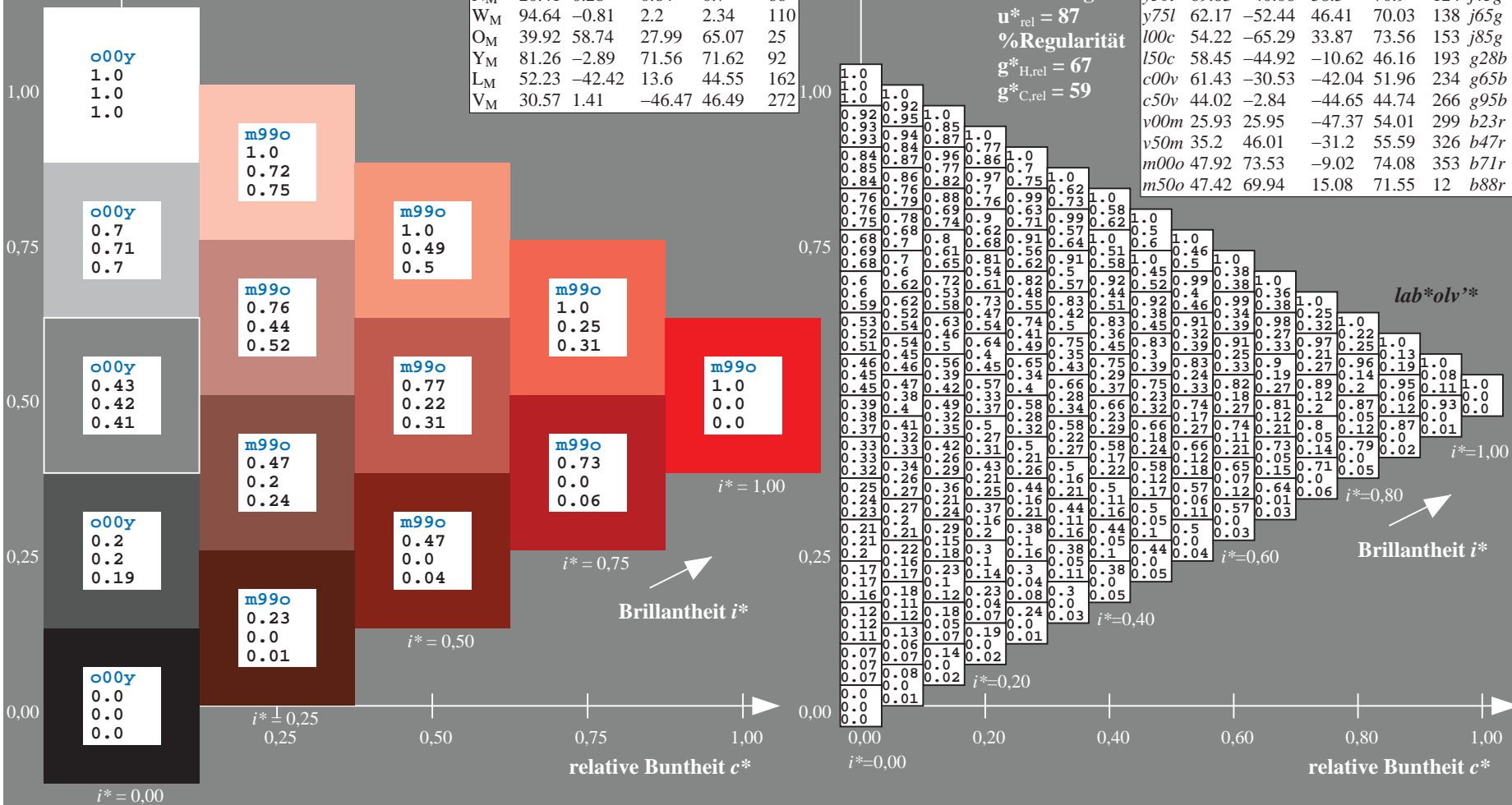
$u^*_{rel} = 87$

%Regularität

$g^*_{H,rel} = 67$

$g^*_{C,rel} = 59$

ORS20_95a; adaptierte CIELAB-Daten									
u^*_d	$L^*=L^*$	a^*_a	b^*_a	$C^*_{ab,a}$	$h^*_{ab,a}$	u^*_e			
$o00y$	46.89	66.19	40.28	77.48	31	$r09j$			
$o25y$	57.13	47.6	52.04	70.52	48	$r33j$			
$o50y$	66.36	30.85	62.62	69.81	64	$r57j$			
$o75y$	76.18	13.03	73.89	75.03	80	$r81j$			
$y00l$	88.66	-9.62	88.21	88.73	96	$j06g$			
$y25l$	78.19	-26.54	71.69	76.45	110	$j25g$			
$y50l$	69.83	-40.06	58.5	70.9	124	$j45g$			
$y75l$	62.17	-52.44	46.41	70.03	138	$j65g$			
$l00c$	54.22	-65.29	33.87	73.56	153	$j85g$			
$l50c$	58.45	-44.92	-10.62	46.16	193	$g28b$			
$c00v$	61.43	-30.53	-42.04	51.96	234	$g65b$			
$c50v$	44.02	-2.84	-44.65	44.74	266	$g95b$			
$v00m$	25.93	25.95	-47.37	54.01	299	$b23r$			
$v50m$	35.2	46.01	-31.2	55.59	326	$b47r$			
$m00o$	47.92	73.53	-9.02	74.08	353	$b71r$			
$m50o$	47.42	69.94	15.08	71.55	12	$b88r$			



Ein und Ausgabe: Farbmatisches Drucker-Reflektiv-System ORS20_95, L*=20_95 für relativen CIELAB-Buntton $h^* = lab^*h^* = h_{ab}/360 = 0.087$ $u^*_d = o00y$

Daten für jede Farbe:

lab^*ch^* und lab^*icu^*

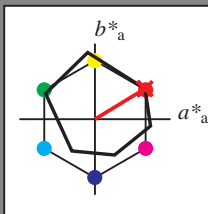
Bunttontexte:

$u^*_d = o00y$ $u^*_e = r09j$

Kontrastreduzierungsfaktor:

$c_R = 1.0$

Dreiecks-Helligkeit i^*



ORS20_95a; CIELAB-Daten

u^*_d	$L^*=L^*$	a^*	b^*	C^*_{ab}	h^*_{ab}
O _M	46.89	66.08	41.48	78.02	32
Y _M	88.66	-10.34	90.28	90.87	97
L _M	54.22	-65.51	35.22	74.38	152
C _M	61.43	-30.85	-40.54	50.94	233
V _M	25.93	26.15	-46.61	53.44	299
M _M	47.92	73.41	-7.8	73.82	354
N _M	20.41	0.28	0.64	0.7	66
W _M	94.64	-0.81	2.2	2.34	110
O _M	39.92	58.74	27.99	65.07	25
Y _M	81.26	-2.89	71.56	71.62	92
L _M	52.23	-42.42	13.6	44.55	162
V _M	30.57	1.41	-46.47	46.49	272

Daten für Maximalfarbe (Ma):

LAB^*LAB^*Ma : 47 66 40

LAB^*LCH^*Ma : 47 77 31

lab^*olv^*Ma : 1.0 0.0 0.0

lab^*rgb^*Ma : 1.0 0.09 0.0

Dreiecks-Helligkeit i^*

%Umfang

$u^*_{rel} = 87$

%Regularität

$g^*_{H,rel} = 67$

$g^*_{C,rel} = 59$

ORS20_95a; adaptierte CIELAB-Daten

u^*_d	$L^*=L^*$	a^*	b^*	$C^*_{ab,a}$	$h^*_{ab,a}$	u^*_e
$o00y$	46.89	66.19	40.28	77.48	31	$r09j$
$o25y$	57.13	47.6	52.04	70.52	48	$r33j$
$o50y$	66.36	30.85	62.62	69.81	64	$r57j$
$o75y$	76.18	13.03	73.89	75.03	80	$r81j$
$y00l$	88.66	-9.62	88.21	88.73	96	$j06g$
$y25l$	78.19	-26.54	71.69	76.45	110	$j25g$
$y50l$	69.83	-40.06	58.5	70.9	124	$j45g$
$y75l$	62.17	-52.44	46.41	70.03	138	$j65g$
$l00c$	54.22	-65.29	33.87	73.56	153	$j85g$
$l50c$	58.45	-44.92	-10.62	46.16	193	$g28b$
$c00v$	61.43	-30.53	-42.04	51.96	234	$g65b$
$c50v$	44.02	-2.84	-44.65	44.74	266	$g95b$
$v00m$	25.93	25.95	-47.37	54.01	299	$b23r$
$v50m$	35.2	46.01	-31.2	55.59	326	$b47r$
$m00o$	47.92	73.53	-9.02	74.08	353	$b71r$
$m50o$	47.42	69.94	15.08	71.55	12	$b88r$

LAB^*cmyn^*

$i^*=1.00$

Brillantheit i^*

$i^*=0.80$

$i^*=0.60$

$i^*=0.40$

$i^*=0.20$

$i^*=0.00$